

### 5) Metode pentru modele standard

Deși la paragrafele precedente s-a discutat reper-  
curența cerinței ca  $F \in \mathbb{R}^n$  și cum poate fi ea depășită  
(metodele de prelucrare), s-ar putea pune problema de a  
găsi un algoritm care să nu reclame cerința ca  $f_1, f_2$   
să fie surjective (v. fig 40). Aceasta cu atât mai mult cu  
cât am demonstrat deja existența și unicitatea soluției  
pentru exemplul nostru, fără a pretinde ca  $f_1, f_2$  să fie  
surjective (modelul standard a fost astfel acceptat)

Metoda pe care o vom folosi în această parte a  
analiza atenție a teoremei 2, [art 13]:

#### Teorema 6 (Sandberg)

Pentru ecuația  $A \in (v) + B v = c$  (161), unde

- 1)  $f$  sunt măsurătorile continue  $\mathbb{R} \xrightarrow{in} \mathbb{R}$
- 2) Matricele  $A$  și  $B$  satisfac relațiile

$$a_{jj} > \sum_{i \neq j} |a_{ij}| \quad (181)$$

$$b_{ij} > \sum_{i \neq j} |b_{ij}| \quad (182)$$

(adecă  $A$  și  $B$  sunt matrice dominante pe coloane)

Atunci algoritmul descris mai jos e sigur că  
converge la soluție.

#### Algoritmul

Se va proceda în două etape:

1) Se calculează  $y^{(m)}$

$$(183) \quad y^{(m)} = -(A - \text{diag } A) F(x^{(m-1)}) + (B - \text{diag } B) x^{(m-1)} - c$$

2) Se calculează  $x^{(n)}$  din ecuația:

$$(184) \quad y^{(m)} = \text{diag } A \cdot F(x^{(m)}) + \text{diag } B \cdot x^{(m)}$$

Observații

Este evidentă deosebita libertate lăsată asupra punctelor  $f_i$ . Prețul acestei libertăți (care ne interesează foarte puțin dacă vom să putem considera condițiile standard) este apariția condițiilor (181) (182) de determinanți foarte coloare.

Să vedem dacă putem plăti acest preț în problema exemplului.

$$A = T \begin{pmatrix} 1 & -x_1 \\ -x_1 & 1 \end{pmatrix} \quad \begin{matrix} a_{11} > |a_{21}| \\ a_{22} > |a_{12}| \end{matrix} \text{ evident.}$$

$$B = G = \begin{pmatrix} G_3 & -G_3 \\ -G_3 & G_1 + G_2 + G_3 \end{pmatrix}$$

$$a_{22} > |a_{12}|$$

dar  $a_{11} \not> |a_{12}| \quad (G_3 = |-G_3|)$

Metoda nu poate fi direct aplicată cu certitudine.

La vom face, în această situație? În cele ce urmează

să descriem o metodă de adaptare la problema

la  $T_0$ , care urmăm:

- să descriem metoda de adaptare

- să urmăm să se condiție ar trebui în -

depinde pentru ca această adaptare să reușească.

- legat de aceasta, să lăce fixarea introducerii clare  $D$ , în capitalul  $\bar{K}$ ,

- să urmăm importanța condiției det  $G \neq 0$  în problemă (legat de existența și unicătatea).

- să familiarizăm pe cititor cu matricele tari dominante pe coloane și proprietățile lor.

Metode de adaptare

Dacă ecuația  $T F(v) + G v = B$  ne a permis folosirea  $TG$ , ne întrebăm dacă nu cumva n-ar putea face un rol artificial:

înmulțim ecuația în ambele părți cu o matrice diagonală  $D = \begin{pmatrix} d_1 & 0 \\ 0 & d_2 \end{pmatrix}$  (185) cu  $d_1 > 0, d_2 > 0$

Cum det  $D = d_1 d_2 \neq 0$ , în acest mod nu influențăm în nici un fel soluțiile ecuației, și obținem:

$$DT F(v) + D G v = D B$$
 (186)

sau

$$A F(v) + B v = c$$
 (187) cu 
$$\begin{cases} D T = A \\ D G = B \end{cases}$$
 (187')

Acum, ne putem gândi la aplicarea teoremei 6, pentru cazul matricei  $A, B$ . Trebuie să verificăm deci că  $A$  și  $B$  sunt tari dominante pe coloane.

(e atare ce trebuie ca):

1)  $A = DT$  este dominantă pe coloane :

$$\begin{pmatrix} d_1 & 0 \\ 0 & d_2 \end{pmatrix} \cdot \begin{pmatrix} 1 - \alpha_r & \\ -\alpha_t & 1 \end{pmatrix} = A = \begin{pmatrix} d_1 & -d_1 \alpha_r \\ -d_2 \alpha_t & d_2 \end{pmatrix}$$

și condițiile sînt :

$$a_{11} > |a_{21}| : d_1 > |-d_2 \alpha_t|, \quad \frac{d_1}{d_2} > \alpha_t$$

$$a_{22} > |a_{12}| : d_2 > |-d_1 \alpha_r|, \quad \frac{d_2}{d_1} > \alpha_r \quad \text{sau :}$$

$$\boxed{\alpha_t < \frac{d_1}{d_2} < \frac{1}{\alpha_r}} \quad (188)$$

Derivăm că pot fi alți arfel de  $d_1, d_2$ , avîm în

vedere faptul că  $\alpha_r, \alpha_t \in (0, 1)$

Observații

Această problemă ne pune arfel : Pot găsi o matrice

$D$ , care să satisfacă relația (188) și în plus  $DG$  să fie

este dom. pe coloane? Acestea sînt cazurile menționate

$D(T)$  (deci matricilor  $G$ , ai se respecta 188, pentru un anumit  $T$  și există  $D$  ai în același timp  $DG$  e este dominantă pe coloane). Direcția de lucru arată unde pot apărea arfel tipuri ( $D(T)$ ) de matrici  $G$  și în ce contă importanța lor (ca să de exemplu ele permit aplicarea algoritmului arfel al  $TG$ , în condiții satisfăcătoare pentru funcțiile  $f_i$ ).

2)  $B = DG$  este este dominantă pe coloane.

Observații

Înainte de a trece la celăl să observăm un

aspect: amine că dacă  $\det G \geq 0$ , atunci nicio-

dacă  $DG$  nu poate fi este dominantă pe coloane.

Acareea deoarece  $\det G = 0 \Rightarrow \det(DG) =$   
 $= \det D \cdot \det G = 0$ , deci  $\forall D > 0$  (matrice diagonală cu  
 elemente pozitive),  $DG$  este singulară.

( Putem obține acareea combinate și astfel (mai lung,  
 dar instructiv din pt. de vedere a modelului cum arăta-  
 rează o înmulțire la dreapta cu o matrice diagonală)

$$\begin{pmatrix} d_1 & & & \\ & \ddots & & \\ & & d_n & \end{pmatrix} G = \begin{pmatrix} d_1 g_{11} & d_1 g_{12} & \dots & d_1 g_{1n} \\ d_2 g_{21} & d_2 g_{22} & \dots & d_2 g_{2n} \\ \dots & \dots & \dots & \dots \\ d_n g_{n1} & d_n g_{n2} & \dots & d_n g_{nn} \end{pmatrix}$$

$\Rightarrow \det DG = d_1 \cdot d_2 \cdot \dots \cdot d_n \det G = 0.$

Acum rămâne să folosim faptul că o matrice tare  
dominantă pe coloane e neregulară. Acareea este

$T \neq, B \bar{V}$ , dar să arătăm valabilitatea pentru  $n=2$ ,  
 și ca o intărire a demonstrației generale. ( $v \in [0]$ )

$$\det G = g_{11} g_{22} - g_{12} g_{21} \neq 0,$$

care  $g_{11} > |g_{21}|, g_{22} > |g_{12}| \quad \text{ș.a.}$

Revenind la exemplul nostru:

$$\begin{pmatrix} d_1 & 0 \\ 0 & d_2 \end{pmatrix} \cdot \begin{pmatrix} G_3 & -G_3 \\ -G_3 & G_1 + G_2 + G_3 \end{pmatrix} = \begin{pmatrix} d_1 G_3 & -d_1 G_3 \\ -d_2 G_3 & d_2 (G_1 + G_2 + G_3) \end{pmatrix}$$

Deci trebuie ca:

$$d_1 G_3 > |d_2 G_3| \Rightarrow d_1 > d_2 \quad (189)$$

$$d_2 (G_1 + G_2 + G_3) > d_1 G_3 \Rightarrow \frac{d_1}{d_2} < \frac{G_1 + G_2 + G_3}{G_3} \quad (190)$$

Sau condensat

$$\boxed{1 < \frac{d_1}{d_2} < 1 + \frac{G_1 + G_2}{G_3}} \quad (191)$$

Si această relație permite alegerea unui  $d_1$ ,  $d_2$ , mai mult, se pot alege  $d_1$  și  $d_2$  astfel încât să fie satisfăcută și (188). De exemplu:

$$\boxed{1 < \frac{d_1}{d_2} < \min \left\{ \frac{1}{\alpha r}, 1 + \frac{G_1 + G_2}{G_3} \right\}} \quad (192)$$

Satisfacerea ambelor relații (188), (191), și deci  $D_T, D_G$  sunt tari dominante pe coloane. Se (dăci  $(T, G) \in D$ , sau  $G \in D(T)$ ). Se pot alege astfel de  $d_1, d_2$ , cărei  $\alpha r < 1$ ,  $1 + \frac{G_2 + G_1}{G_3} > 1 //$ .

**Concluzia 4**

Dăci  $G_1, G_2, G_3 > 0$ ,  $\alpha r, \alpha t \in (0, 1)$  și  $k_1, k_2$  sunt ~~de~~ <sup>numere</sup> constante (pt. t. de existență și unicitate putem folosi 1' pag 135), există un algoritmul de tip "Sandberg adaptat" (v. mai jos) care converge riguros la soluție.

Algoritmul

- se alege un  $d_1, d_2$  care să verifice (192) (putem de-  
ci să luăm pentru început  $d_2 = 1, d_1 = \frac{1+b}{2}$ , unde  $b$   
este  $\min \left\{ \frac{1}{\alpha r}, 1 + \frac{G_1 + G_2}{G_3} \right\}$ .)
- se înmulțesc ecuațiile inițiale (92) cu  $D$  astfel  
ales și se găsește (186).
- acurateții ecuației i se aplică algoritmul descris  
dar în relațiile (183), (184).

Obliviscență

Ecuația (184) care intervine este linie definită (are o soluție unică). Fiecare „componentă” a ecuației are forma :  $y_k^{(m)} = a_{kk} f(x_k^{(m)}) + b_{kk} x_k^{(m)}$ , care are o linie definită, având în vedere proprietățile monotone-strictă a lui  $f$  și că  $a_{kk}, b_{kk} > 0$  (v (181), (182)).

6) Calculul marginilor soluțiilor și valorii sale

Există metode prin care reușim să erlinăm locația soluțiilor, pentru un B fixat, Var. 1 la care a rezolvat ecuațiile. Aceste metode sunt cu atât mai valoroase

- ce sînt sînt mai simple de aplicat (eventual manual)
- ce sînt se aplică în situații mai largi
- atunci sînt se garantează „zona” în care se aplică soluțiile atunci sînt B variabil într-o zonă H (Var. 2)

Mai tîrziu sînt evidențiam :

a) Rolul calculului marginilor soluțiilor

Pentru ecuația exemplar :  $F(v) + \tau^{-1} G v = \tau^{-1} B$ , folosi algoritmul pe care i-am propus anterior, pentru care de la un  $x_0$  oarecare. Prima utilizare evidentă este de a :

**U1**: Estimarea lui  $x_0$  și prin aceasta pornirea „în față” a algoritmului de calcul (de. de timp și bani)

Mai mult, dacă algoritmul folosit nu este convergent în întreg spațiul propriu, este posibil ca, pe-a-sarea problemei în „zona” unde se află soluțiile:

**U2**: Să faci unei algoritmi necorespunzător convergenți

La cearta să adăușgăm și un lot de aspecte legate de probleme de calitate, care au fost deja menționate la locul respectiv

**U3**: Implicațiile în problema „intrare marginată - cerere marginată” și prin aceasta, în colaborarea cu domeniul lui Palais? (v pag 148)

**U4**: Implicațiile în problema sursei și sursei. tatei soluțiilor (v pag 148)

**U5**: relevarea în via (practic) al problemei (pag 149)

Der mai ales trebuie înțeles asupra sursei. rest, menționat anterior (pag 148 p) - și pag 137. - fig 436. și anume:

**U6**: Posibilitatea analizei cerului und punctele au domeniul ~~pot~~ marginat, prin procedul de prelungire (v fig 36) urmat de verificarea de coincidență, care conține toamă în ceea ce se obțin marginile inter care se află soluțiile exactelor „prelungite” și se verifică dacă



Funcțiile inițiale au un domeniu care cuprinde o anumită margine. În acest context, și dacă avem grijă ca procedul de prelungire să nu altereze aspectul calitativ al funcțiilor (deci de exemplu să dispunem de o tăcere de existență și unicitate pentru funcțiile prelungite) se poate arăta (v. [0]) și este chiar oarecum intuitivă

Propoziția de prelungire (T.7) Pare puțin oarecum

ci, conform unui procedeu oarecum stabilim că soluția se află într-o anumită zonă  $H$  și e unică, funcțiile respective pot fi modificate, cu condiția ca ele să rămână la fel în zona  $H$ , iar prin modificare să nu se cauzeze o confirmare calitativă nouă (care să admită apariția altor soluții)

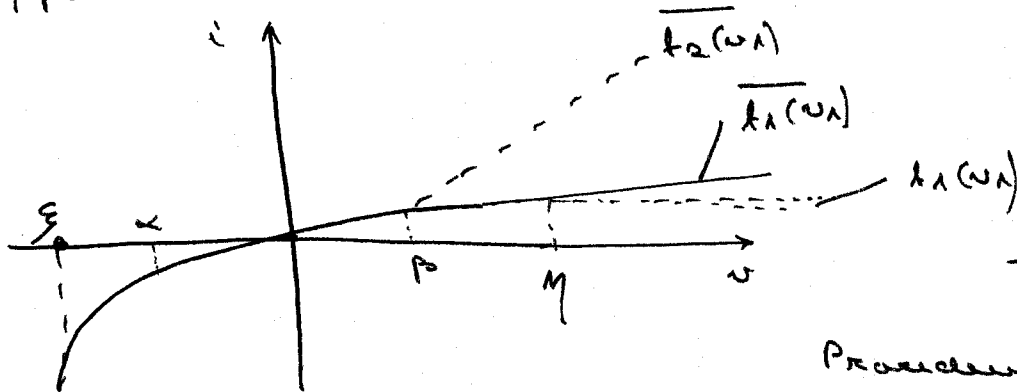
U7 Procedind ca mai sus, după ce aflăm marginea soluțiilor ecuațiilor originale, putem apela la o modificare de tipul de mai sus cu efecte pozitive:

- să lăsam paribul un algoritm care nu va aplica ecuațiilor originale
- să marșăm interesul de convergență a unui algoritm.

Un exemplu în acest sens ni-l oferă con-

funcția  $f$  (pag 164). Se vede că ele necesită ca partea  
funcțiilor  $f$  să fie mărginită inferior de  $\epsilon$ . (fig 40)  
pag 162

Ori, pentru cazul diodelor standard,  $f_1(v_A)$  din



- fig 42 -

Procedeu de mo-  
dificare („prelungire”)

fig 42, deri parte a paritivă, ea se apropie oricât  
de 0. De aceea conveniența nu poate fi aplicată.

Dar, dacă în prealabil determinăm, pentru func-  
ția originală că are o soluție unică între  $\xi$  și  $\eta$ , a-

tunci putem face „prelungirea acceptabilă”  $\bar{f}_1(v_A)$  (desigur  
nu vom adăuga nicio soluție nouă  $f_1(v_A)$  și  $f_2(v_A)$ )

satisfacă ambela cerințele de monotonie referente  
pentru a deduce existența și unicitatea în pro-  
blema noastră). Funcția  $\bar{f}_1(v_A)$  satisface însă cer-  
ința de parte a laoremei.

Mai mult, dacă se obține mărginirea  $(\alpha, \beta)$ ,

putem chiar modifica funcția și între  $\beta$  și  $\eta$  ( $\bar{f}_2(v_A)$ )

căci în acest mod  $f$  parte minimă verde și vom

avea (\*) ca o dată cu ea crește și viteza de conver-  
gență.

b) Teoreme de calcul al mărginilor (Varianta 1 - fixa)

**Teorema 8**

Dacă ecuație (193)  $F(x) + Ax = B$  satisfacă condițiile:

(194) 1)  $k_i \in \mathbb{R}$

(195) 2)  $a_{ii} \geq \sum_{\substack{j=1 \\ j \neq i}}^n |a_{ij}|$  (măști dom. pe linii)

atunci soluția lui (193) se găsește în domeniul  $\mathbb{R}$  obținut prin algoritmul de mai jos

Algoritm

1) - se rezolvă ecuația  $F(x) = B$  (196)

sau  $\begin{cases} k_1(x_1) = b_1 \\ k_2(x_2) = b_2 \\ \vdots \\ k_n(x_n) = b_n \end{cases}$  (197)  $\Rightarrow$  soluțiile  $\begin{pmatrix} x_1 \\ x_2 \\ \vdots \\ x_n \end{pmatrix}$  (198)

2) - se calculează:  $\alpha = \max_i \{ |k_i| \}$  (199)

și  $B' = \left[ \sum_{j=1}^n |a_{1j}|, \sum_{j=2}^n |a_{2j}|, \dots, \sum_{j=1}^n |a_{nj}| \right]^T$  (200)

3) Se rezolvă ecuațiile:

(201)  $F(x) + \text{diag } A \cdot x = B - \alpha B'$

(202)  $F(x) + \text{diag } A \cdot x = B + \alpha B'$ , notându-se

soluțiile respective cu

(203)  $\eta = [\eta_1, \dots, \eta_n]^T$  pentru (201)

(204)  $\xi = [\xi_1, \dots, \xi_n]^T$  pentru (202)

4) Atunci domeniul soluțiilor este

$R = \{x_1 | x_2 | \dots | x_n \text{ cu } |x_k| = [\eta_k | \xi_k] \quad k=1, \dots, n$   
(205)

Exemplu de aplicare

Punem ecuația noastră :

$$F(v) + \tau^{-1} G v = B_1 = \tau^{-1} B \text{ sau pe scurt:}$$

$$F(v) + \frac{1}{1-\alpha+\alpha\tau} \begin{pmatrix} 1 & \alpha\tau \\ \alpha\tau & 1 \end{pmatrix} \begin{pmatrix} G_3 & -G_3 \\ -G_3 & G_1+G_2+G_3 \end{pmatrix} = \frac{1}{1-\alpha+\alpha\tau} \begin{pmatrix} 1 & \alpha\tau \\ \alpha\tau & 1 \end{pmatrix} \begin{pmatrix} -G_3 \\ G_2+G_3 \end{pmatrix} E_c \quad (206)$$

observăm în primul rând că ne am arătat condi-  
 ții ca la T2 pag 153, în afara de ea de partea măr-  
 ymită inferioară uniform pozitiv (145).

Presupunem arădat că  $\beta_1, \beta_2 \in \mathbb{R}$  și că

$$(207) \quad G_3 \geq \frac{\alpha\tau}{2(1-\alpha\tau)} (G_1+G_2) \quad (\text{vezi concluzia 1, pag 164}) \text{ și sistem}$$

acum rigurosi de îndeplinirea condițiilor (Consecința 5)

Metoda calculului :

1) Se rezolvă ecuația

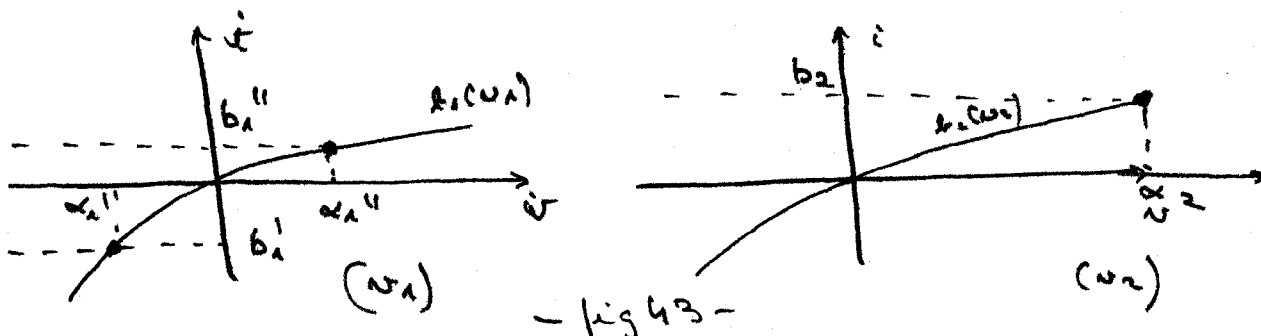
$$\begin{cases} k_1(v_1) = b_1 = \frac{E_c}{1-\alpha+\alpha\tau} [-G_3 + \alpha\tau(G_2+G_3)] \\ k_2(v_2) = b_2 = \frac{E_c}{1-\alpha+\alpha\tau} [-\alpha\tau G_3 + G_2 + G_3] \end{cases}$$

cu  $\frac{1}{1-\alpha+\alpha\tau} = k$  arădată în mai sus:

$$\begin{aligned} k_1(v_1) &= k E_c (G_3(\alpha\tau-1) + \alpha\tau G_2) = b_1 \\ k_2(v_2) &= k E_c [G_3(1-\alpha\tau) + G_2] = b_2 \end{aligned} \quad (208)$$

(Se vede că  $b_1 < b_2$  ( $b_2$  e totdeauna pozitiv,  $b_1$   
 poate fi și negativ dacă  $G_3(1-\alpha\tau) > \alpha\tau G_2$ , adică  
 $G_3 > \frac{\alpha\tau}{1-\alpha\tau} G_2$ ).

Grafic din situație arată :



și se vede că în general  $b_1' \geq 0$ ,  $b_2 > 0$  din cauza ra-  
 zunilor prezentate. Dacă  $f_1, f_2$  nu diferă prea mult,  $\alpha_2$   
 va fi cel mai mare în model. Oricum ar fi,

2) Se da  $\alpha_2 = \max\{|\alpha_1|, |\alpha_2|\}$  (209)

2) Se calculează

$$B' = \begin{bmatrix} |a_{12}| \\ |a_{21}| \end{bmatrix} = \begin{bmatrix} |G_3(\alpha_1 - 1) + \alpha_1(G_1 + G_2)| \\ G_3(1 - \alpha_1) \end{bmatrix} \quad (209')$$

(cu direcția de zigoare asupra modulului lui  $|a_{12}|$ )

3) se rezolvă ecuațiile:

$$\begin{pmatrix} f_1(v_1) \\ f_2(v_2) \end{pmatrix} + \begin{pmatrix} \alpha_{11} & 0 \\ 0 & \alpha_{22} \end{pmatrix} \begin{pmatrix} v_1 \\ v_2 \end{pmatrix} = B - \alpha B'$$

$$f_1(v_1) + \alpha_{11} v_1 = B_1 - \alpha B_1' \rightarrow v_1 = \xi_1 \quad (210)$$

$$f_2(v_2) + \alpha_{22} v_2 = B_2 - \alpha B_2' \rightarrow v_2 = \xi_2 \quad (211)$$

$$\begin{pmatrix} f_1(v_1) \\ f_2(v_2) \end{pmatrix} + \begin{pmatrix} \alpha_{11} & 0 \\ 0 & \alpha_{22} \end{pmatrix} \begin{pmatrix} v_1 \\ v_2 \end{pmatrix} = B + \alpha B' \quad ($$

$$f_1(v_1) + \alpha_{11} v_1 = B_1 + \alpha B_1' \rightarrow v_1 = \eta_1 \quad (212)$$

$$f_2(v_2) + \alpha_{22} v_2 = B_2 + \alpha B_2' \rightarrow v_2 = \eta_2 \quad (213)$$

4) Cu valorile găsite mai sus, se calculează

$$R = i_1 \times i_2 = (\xi_1, \eta_1) \times (\xi_2, \eta_2) \quad (214)$$

Comentarii

1) Din nou am putea justifica la fiecare

pas buna definire a procedurii. (ex. 208, 210, 211, 212, 213)

Nu numai la ~~partea~~, (de obicei ea rezultă și din concluzia/teorema)

2) ecuațiile implicate la parți și în unele locuri simple. {

Ecuațiile <sup>(208)</sup>, au, pentru partea exponențială o soluție logaritmică, iar pentru partea liniară (pe lungura eventuală) una liniară.

Ecuațiile (210) → (213) pot fi rezolvate prin metode iterative.

Merită însă să observăm un fapt: dacă admițem o eroare largă a marginilor obținute, putem obține un

$$i = (\xi_1', \eta_1') \times (\xi_2', \eta_2')$$

$$\text{cu } \xi_1'_{(2)} < (\text{puțin}) \xi_1_{(2)} \quad \eta_1'_{(2)} > (\text{puțin}) \eta_1_{(2)}$$

foarte usor, manual, prin aproximată la sine și, de obicei:

$$\text{Fie } h(v_1) = k_1(v_1) + G_3 (1-\alpha) v_1 - \bar{b}_1$$

se încearcă în  $v_1^0$ , dacă  $h(v_1^0) < 0$  se caută

un  $v_1'$  mai mare, pînă cînd  $h(v_1') \geq 0$ . ~~Pe de altă parte~~ Acum în in-

tervalul  $(v_1^0, v_1')$  aplicăm metoda împărțirii, de cît

va ori, urmărind semnul pînă mă apropiu suficient

de mult de soluția exactă (detaliile sînt evidente).

Arfel vom căuta, în succesiune  $(10)$ ,  $(211)$  o margine „re-  
zonabilă de apropiată inferior de soluție”, iar în  $(212)$   
 $(213)$  margine apropiată superior.

3) După ce am găsit marginea, aplicăm metoda  
de prelucrare rezonantă la pag 190 (descrie n-a făcut  
acolo). Ca atare

**Conexința 5**

În condițiile conexinței 5 (pag 192) putem ca după a  
un găsit pe  $(g_1, y_1)$ ,  $(g_2, y_2)$  să modificăm funcțiile  $f_1, f_2$   
ca la pag 190 (dicată de  $\gamma_1$  și  $\gamma_2$  funcția se dă în  
partea  $\geq$  - v. fig 42, modificarea  $\overline{f_2(x_1)}$ )

Arfel, putem aplica automat după ce s-a mers  
reținem, algoritmul de la conexința 4 (pag 164), ajun-  
gind sigur la soluția corectă.

**Teorema de calcul al marg. - Var. 2 (variabilită)**

În condițiile teoremei 1, dăm ni se două limite  
în care joacă "B":

$$(215) \begin{cases} \alpha_1 \leq b_1 \leq \beta_1 \\ \alpha_2 \leq b_2 \leq \beta_2 \\ \vdots \\ \alpha_n \leq b_n \leq \beta_n \end{cases} \quad \text{sau pe} \\ \text{scara} \quad (215') \quad \alpha \leq B \leq \beta \\ \text{(vectori} \\ \text{colored)}$$

re stabilirea limitelor între care se află soluția  
reține - în procedeu cu totul analog celui precedent.

→ Acum este **Teorema 9**, iar algoritmul este  
dat explicit în continuare:

Algoritm

- se rezolvă ecuațiile

$$F(\alpha) = \alpha \quad (216)$$

$$F(x) = \beta \quad (216')$$

a celor două soluții se notează

$$\mu = (\mu_1, \dots, \mu_n)^t \quad (217)$$

$$\nu = (\nu_1, \dots, \nu_m)^t \quad (217')$$

- se calculează

$$B' = \left[ \sum_{j=1}^{n-1} |a_{1j}|, \dots, \sum_{j=1}^{n-1} |a_{mj}| \right]^t \quad (218)$$

$$\text{și } \lambda = \max \{ |\mu_1|, |\mu_2|, \dots, |\mu_n|, |\nu_1|, \dots, |\nu_m| \} \quad (219)$$

- se rezolvă ecuațiile:

$$F(x) + \text{diag } A \cdot x = \alpha - \lambda B' \quad (220)$$

$$F(x) + \text{diag } A \cdot x = \beta + \lambda B' \quad (221)$$

notându-se soluțiile cu

$$\eta = [\eta_1, \dots, \eta_n] \quad (222)$$

$$\xi = [\xi_1, \dots, \xi_m] \quad (223)$$

- Atunci:

$$\begin{cases} \eta_1 \leq x_1 \leq \xi_1 \\ \dots \\ \eta_n \leq x_n \leq \xi_n \end{cases} \quad \text{sau}$$

(224)

$x \in R = [x_1, x_2, \dots, x_n]$  cu  $i_k = [\eta_k, \xi_k] \quad k=1, \dots, n$

Observații

[ave(B)]

în cadrul demonstrației se arată și faptul că

ecuația

$$(225) \quad F(x) + \text{diag } A \cdot x = \beta, \text{ are și ea niște}$$

soluții, să le notăm cu  $x^t$ , cu proprietatea că se

afectează în intervalele  $[\eta_k, \xi_k]$  găsite mai sus sau

pentru cazul ekstremilor  $\beta$ , între soluțiile ecua-

țiilor (201), (202). Mai mult se arată că dacă



matricea A devine diagonală (adică  $\sum_{j \neq i} a_{ij} \rightarrow 0$ ), atunci soluțiile ecuațiilor (201) (202) se apropie de  $x^*$ , și deci o dată cu ele și selecția exactă a ecuațiilor. Toate acestea sunt motive suficiente pentru:

**Consecința 7**

Rezolvând ecuația (225), vom găsi o soluție  $x^*$ , care este o bună aproximație inițială, (de start) a algoritmului.

2) Se mai arată că  $\alpha$  obținut la 199 este o majorare a marginilor, deci că

$$-\alpha \leq \eta_i \leq \xi_i \leq \alpha \quad \forall i = 1, \dots, n \text{ deci}$$

**Consecința 8**

Putem obține o primă estimare (corectă) a conei în care se află soluțiile, rezolvând ecuația  $F(x) = B$  (197)

$$= (198) [\alpha_1, \dots, \alpha_n]^T \Rightarrow \alpha = \max \{ |\alpha_i| \} \text{ și atunci}$$

$$H = \{x \mid x_1, \dots, x_n \text{ cu } x_k \in [-\alpha, \alpha]\}.$$

Exemple:

(Cons. 7) Se rezolvă ecuația

$$(226) \begin{cases} b_1(v_1) + a_{11} v_1 = b_1 \\ b_2(v_2) + a_{22} v_2 = b_2 \end{cases} \text{ , obținând un}$$

punct  $(v_1^*, v_2^*)$  (227), valabil ca primă aproximație a lui

$$\begin{pmatrix} v_1 \\ v_2 \end{pmatrix} \text{ (} \cancel{v_2} \text{ (ig 43))}$$

(Cons. 8) Se rezolvă ecuația:

$$(228) \begin{cases} k_1(v_1) = b_1 \\ k_2(v_2) = b_2 \end{cases} \quad (229) \Rightarrow \begin{cases} v_1 = \alpha_1 \\ v_2 = \alpha_2 \end{cases}, \text{ sau cu cîteva lucruri}$$

simplex (v fig 43), derivat de la pag 194)

Avem o primă "Majorare" a zonei în care se găsesc soluțiile :  $i = [-\alpha, \alpha] \times [-\alpha, \alpha]$ . (230)

### © Teoreme generale de calcul al Marginilor

Problema pusă la acest punct este analogă celei de la par 4: nu s-ar putea obține metode de calcul al marginalor, și paralele teoremelor de x și unicitate, care să ne scadă îndeplinirea suplimentară a altor condiții? (analoage Teoremei 5)

Răspunsul este afirmativ de normal căreia teoremă :

**Teorema 10** Dacă: ecuația  $F(x) \in Ax = B$  are

1)  $F \in \mathbb{R}^m$  (231)

2)  $A \in P_0$  (232)

atunci fiind dati  $\alpha_i \leq \beta_i$  ai :

$$\alpha_i \leq b_i \leq \beta_i \quad \forall i = 1, \dots, m \quad (233)$$

atunci există soluțiile  $y_i, \sigma_i \quad i = 1, \dots, m$ , cu  $\hat{\alpha}_i$

$$\boxed{y_i \leq x_i \leq \sigma_i} \quad \forall i = 1, \dots, m \quad (234)$$

și putem să construim efectiv aceste margini

prin Procedeu va fi ilustrat în cele ce urmează

cu pentru  $n = 2$  (prob. exemplu)

Ca să fie se obține dintr-o variabilă, făcând

$\alpha_i \leq \beta_i = b_i$  și nu va mai fi discutată aparte

Concluzia

Dacă pentru ecuația exemplului (92)

(235)  $\begin{cases} -F \in \mathbb{R}^m \\ -A \in P_0 \end{cases}$

$(F(v) + Av = \bar{B} \text{ cu } A = T^{-1}G, \bar{B} = T^{-1}B)$

(care au caracteristicile pentru  $\begin{cases} G_1, G_2, G_3 > 0 \\ x_1, x_2 \in (0, 1) \end{cases}$ )

alunei fiind dati  $\alpha_i, \beta_i$  ai

(236)  $\begin{cases} \alpha_1 < b_1 < \beta_1 \\ \alpha_2 < b_2 < \beta_2 \end{cases}$

putem găsi  $v_1, v_2, d_1, d_2$  ai:

(237)  $\begin{cases} v_1 \leq v_1 \leq d_1 \\ v_2 \leq v_2 \leq d_2 \end{cases}$

prin procedurile redat mai jos:

Demonstratia - constructia

Adăsa în forma:

(238)  $F(v) + Av = B \quad \left( A = T^{-1}G, B = T^{-1}Ec \begin{pmatrix} G_3 \\ -G_2 + G_3 \end{pmatrix} \right)$

am arătat că  $A \in P_0$ , înseamnă că

(239)  $\det \begin{pmatrix} d_1 & 0 \\ 0 & d_2 \end{pmatrix} + A \neq 0$  pentru  $d_1, d_2 > 0$ .

condiție îndeplinită pentru exemplul nostru

Să mai observăm că numarii de ordin 1 principali ai

lui  $A$ ,  $[a_{11}]$ ,  $[a_{22}]$  sînt tot în  $P_0$ , care evident

că  $a_{11} + d_1 \neq 0$

$a_{22} + d_2 \neq 0$  pe  $d_1, d_2 > 0$ , căci  $a_{11}, a_{22} > 0$ .

O altă observație, care provine din invers de sine

relațiilor, este că matricele din clasa  $P_0$ , mai au și

invertarea proprietate:  $\forall x$ , există un indice  $k$

cu  $x_k$  are același semn cu  $(Ax)_k$ . (vezi cap IV B). Prin-

ținăm de obicei pentru a demonstra această

propoziție pentru  $n=2$ . Adăucăi unen nă arătați că

$\forall v_1, v_2$ :

$$(240) \left\{ \begin{array}{l} v_1 (a_{11} v_1 + a_{12} v_2) \geq 0 \\ \text{sau} \\ v_2 (a_{21} v_1 + a_{22} v_2) \geq 0 \end{array} \right. \quad (\text{în cazul că măcar una din relațiile este îndeplinită})$$

Demonstrație

Să presupunem că (240) nu este adevărată, deci că

$$(241) \left\{ \begin{array}{l} v_1 (a_{11} v_1 + a_{12} v_2) < 0 \\ v_2 (a_{21} v_1 + a_{22} v_2) < 0 \end{array} \right. \quad \text{pentru un } (v_1, v_2) \text{ (oricum } v_1, v_2 \neq 0)$$

Atunci, pentru orice  $(v_1, v_2)^T$  vom avea:

$$\left\{ \begin{pmatrix} d_1 & 0 \\ 0 & d_2 \end{pmatrix} + \begin{pmatrix} a_{11} & a_{12} \\ a_{21} & a_{22} \end{pmatrix} \right\} \begin{bmatrix} v_1 \\ v_2 \end{bmatrix} = \begin{bmatrix} d_1 v_1 + [a_{11} v_1 + a_{12} v_2] \\ d_2 v_2 + [a_{21} v_1 + a_{22} v_2] \end{bmatrix}$$

și este evident că pentru:

$$(242) d_1 = - \frac{a_{11} v_1 + a_{12} v_2}{v_1} \quad (242)' d_2 = \frac{a_{21} v_1 + a_{22} v_2}{v_2} \quad \text{obținem:}$$

$$\left\{ \begin{pmatrix} d_1 & 0 \\ 0 & d_2 \end{pmatrix} + \begin{pmatrix} a_{11} & a_{12} \\ a_{21} & a_{22} \end{pmatrix} \right\} \begin{bmatrix} v_1 \\ v_2 \end{bmatrix} = \begin{bmatrix} 0 \\ 0 \end{bmatrix} \quad (243)$$

Dar observând că relațiile (241) împreună (în 242)

cu  $d_1, d_2 > 0$ , relația (243) contrazice condiția (239),

pe care am demonstrat-o deja.

Dacă (241) nu e posibilă  $\Rightarrow$  (240)  $\subseteq$  e.d.

Acum să trecem la procedeeul de calcul al marginilor:

Relația de bază este (240). Vom presupune pe rând că se realizează una din cele două variabile (și în cazul că măcar una se realizează)

1)  $v_1 (a_{11} v_1 + a_{12} v_2) \geq 0$  (244)

Atunci

$v_1 t_1(v_1) + v_1 (a_{11} v_1 + a_{12} v_2) = v_1 b_1$  din (245)

$v_1 t_1(v_1) \leq v_1 b_1$  (246)

Această relație este esențială în procedura de rezolvare (cau trebuie urmăriți atenț pentru că pe ea se va sprijini fixarea pas al calculului)

$v_1 (t_1(v_1) - b_1) \geq 0$  (247), cu două posibilități:

$\begin{cases} v_1 \geq 0 \\ t_1(v_1) \leq b_1 \end{cases}$  sau  $\begin{cases} v_1 \leq 0 \\ t_1(v_1) \geq b_1 \end{cases}$   
(248') (248'')

Vom defini (și cauză)

$\gamma_1^{\wedge} = \min \{t_1^{-1}(b_1), 0\}$      $\delta_1^{\wedge} = \max \{t_1^{-1}(b_1), 0\}$  (249)

și pretindem că  $v_1 \in [\gamma_1^{\wedge}, \delta_1^{\wedge}]$  (250)

Într-adevăr, se observă de la început că

(251)  $\gamma_1^{\wedge} \leq 0$

(252)  $\delta_1^{\wedge} \geq 0$ , așa că, în 247, cazul  $v_1 = 0$  este neinteresant decât relația (250).

Dacă  $v_1 \neq 0$  în 247, avem posibilități:

1) (248')  $v_1 \geq 0$ , atunci evident  $v_1 \geq \gamma_1^{\wedge}$  (v 251), iar din

(248'')  $\Rightarrow t_1(v_1) \leq b_1 \leq \beta_1 \Rightarrow v_1 \leq t^{-1}(\beta_1) \leq \delta_1^{\wedge}$ , unde au folosit monotonia lui  $t$ .

2) Dacă  $v_1 \leq 0$ , atunci  $v_1 \leq \delta_1^{\wedge}$  (252), iar din (248'')

$t_1(v_1) \geq b_1 \geq \alpha_1 \Rightarrow v_1 \geq t^{-1}(\alpha_1) \geq \gamma_1^{\wedge}$ .

În concluzie, în orice caz:

(250)  $v_1 \in [\gamma_1^A, \delta_1^A]$ , calculată ca mai sus.

În continuare vom cerea să găsim o margine și pentru  $v_2$ . Pentru aceasta vom pleca de la ecuația de

falsitate :  $f_2(v_2) + a_{21} v_1 + a_{22} v_2 = b_2$  (253)

În cazul 0 vom scrie :

$f_2(v_2) + a_{22} v_2 = b_2 - a_{21} v_1$  (254)

Sczafi pe această formă, vom găsi margini pen-  
tru  $v_2$ , din ecuația (254) și de aceeași formă cu (238)  
( $F_2(x) + A_2 \cdot x = B_2$ ), cu un ordin mai mic, în care raul  
 $A_2$ , acum  $[a_{22}]$  are semn tal în  $\rho_0$ . (vezi începutul  
demonstrației), pentru care particular și cap IV pentru  
cel general - ideo e că, fiind o linie și o coloană  
de același indice, raul determinant va avea toți  
minorii principali printre cei vechi - adică  $A$ )

(255) Să notăm  $b_2 - a_{21} v_1 = \tilde{b}_2$  și să observăm

că, dacă  $\alpha_2 \leq b_2 \leq \beta_2$  (237)

$\gamma_1^A \leq v_1 \leq \delta_1^A$  (250), atunci

vom găsi margini și pentru  $\tilde{b}_2$ , și le spunem  $\tilde{\alpha}_2, \tilde{\beta}_2$ ,

cu carese /  $a_{21} > 0$   
 $a_{21} < 0$ , analoge. La noi  $a_{21} = G_3(k-1) < 0$

cu că scriem relația pentru care e, obținută pri

înlocuirea lui (250) cu  $-a_{21} > 0$  și adunarea la

237 :  $\alpha_2 - a_{21} \gamma_1^A \leq b_2 - a_{21} v_1 \leq \beta_2 - a_{21} \delta_1^A$  (256)

$\downarrow \tilde{\alpha}_2$   
 $= \tilde{\alpha}_2$

$\downarrow \tilde{\beta}_2$   
 $= \tilde{\beta}_2$

Acum revenim exact în cazul primei secțiuni. Procedăm la fel, o înmulțim cu  $v_2$ , rezultă:

$$v_2 t_2(v_2) + v_2 a_{22} v_2 = v_2 \tilde{b}_2$$

și cum  $v_2 a_{22} v_2 \geq 0$ , deducem:

$$v_2 t_2(v_2) \leq v_2 \tilde{b}_2 \quad (257)$$

Nu mai trebuie să repetăm conținutul. Sistem exact în punctul de la (246) cu

$$\left| \begin{array}{l} v_1 \rightarrow v_2 \\ t_1 \rightarrow t_2 \end{array} \right| \quad \begin{array}{l} \alpha_1 \rightarrow \tilde{\alpha}_2 \\ \beta_1 \rightarrow \tilde{\beta}_2 \end{array} \quad \text{deci se convertește:}$$

$$r_2^1 = \min \{ t_2^{-1}(\tilde{\alpha}_2, 0) \} \quad \sigma_2^1 = \max \{ t_2^{-1}(\tilde{\beta}_2, 0) \} \quad (258)$$

$$\text{și se are că } v_2 \in [r_2^1, \sigma_2^1] \quad (259)$$

Așfel am găsit (250 și 259) margini pentru  $v_1$  și  $v_2$ , în cazul îndeplinirii condiției (244). Mai avem de tratat cazul analog:

$$\textcircled{2} \quad v_2 (a_{21} v_1 + a_{22} v_2) \geq 0 \quad (260)$$

Procedura absolut analog, găsim un nou grup de margini, întii pentru  $v_2$  și apoi pentru  $v_1$ , adică

$$\begin{aligned} v_2 &\in [r_2^2, \sigma_2^2] \\ v_1 &\in [r_1^2, \sigma_1^2] \end{aligned} \quad (261)$$

De-abia acum putem spune, cu certitudine că condiția 9 este valabilă, alegînd în final:

$$\boxed{\begin{array}{ll} v_1 \text{ final} = \min [r_1^1, r_1^2] & v_2 \text{ final} = \min [r_2^1, r_2^2] \\ \sigma_1 \text{ final} = \max [\sigma_1^1, \sigma_1^2] & \sigma_2 \text{ final} = \max [\sigma_2^1, \sigma_2^2] \end{array}} \quad (262)$$

$$\text{Si cci } \left\{ \begin{array}{l} u_1 \in [r_{1t}, d_{1t}] \\ u_2 \in [r_{2t}, d_{2t}] \end{array} \right. \quad \forall \text{ arfi } \left\{ \begin{array}{l} b_1 \in [r_{1t}, \beta_1] \\ b_2 \in [r_{2t}, \beta_2] \end{array} \right. \quad / \quad (263) \\ \text{g.e. d.}$$

Rationalul algoritmului de calcul.

1) Se efectuează mai întâi operația (1) : "enumerați 1 urmări de enumerați 2" în ordine: (249) (255) (256) (258).

2) Se efectuează apoi (2) : "enumerați 2 urmări de 1", urmări primaia (în relațiile de mai sus se lae :

$$\begin{array}{l|l|l} t_1 \rightarrow t_2 & \alpha_2 \rightarrow \alpha_1 & t_2 \rightarrow t_1 \\ \alpha_1 \rightarrow \alpha_2 & \beta_2 \rightarrow \beta_1 & \tilde{\alpha}_2 \rightarrow \tilde{\alpha}_1 \\ \beta_1 \rightarrow \beta_2 & a_{21} \rightarrow a_{12} & \tilde{\beta}_2 \rightarrow \tilde{\beta}_1 \\ (249) & b_2 \rightarrow b_1 & (\text{în } 258) \\ & \tilde{\alpha}_2 \rightarrow \tilde{\alpha}_1 & \\ & \tilde{\beta}_2 \rightarrow \tilde{\beta}_1 & \\ & (255, 256) & \end{array} \quad (264)$$

3) Se face operația (262) și apoi se revine relațiile (263)

Obs : Operațiile enunțate sunt foarte simple : compararea și calculul lui  $t_i^{-1}$ ,  $t_2^{-1}$  în diferite puncte.

Consecințe (vezi și demonstrația de la pag 190)

Sunt date mai <sup>exemplu</sup> jos de sun parte celelalte rezultate urmări.  
 mă ținem cu cele de calcul (Consec 1, 2, 3).

În mare principial este urmări :

- se așteaptă, darăi este posibil (și am sărăcit că puțin

exemplu marim nu mai trebuie decât ca  $\theta_1, \theta_2, \theta_3 \geq 0$ ,  $\alpha_1, \alpha_2 \in (0, 1)$  și  $t_1, t_2 \in \mathbb{R}$  algoritmul preceden și se așteaptă Margherita (263).

~~Apoi se mo~~

- Apoi se modifică funcția admisibilă (v 77 pag 189)



anfel înalt să poată fi aplicați algoritmi de calcul

⇒ În final <sup>nu</sup> se face verificarea de coerență, căci nu am  
acum mijloc să știm dacă este cea dorită. De exemplu, con-  
ștința 6, poate fi urmarea a aplicării alg. precedent.

Dar și mai importantă este utilizarea calculului mar-  
ginal în probleme de următoarea factură:

-  $f_1, f_2$  reținid definiți ~~pe~~  $\mathbb{R}^n \xrightarrow{re} \mathbb{R}^m$  (de exemplu  
cazul standard) o teoremă ca 5 (conținută 3) nu se  
poate aplica. S-a recurs atunci la 6. Calculul margi-  
nelor (6.3) oferă însă, o altă posibilitate: se

A) Se modifică funcțiile  $f_1, f_2$  în afara unui  
interval suficient de departat  $(-\infty, \frac{1}{2})$  cu  $\frac{1}{2}$  locați mare  
(v fig 42)

B) se aplică procedura de afare a marginilor  
pentru noile funcții  $\bar{f}_1, \bar{f}_2$ .

C) Dacă marginile se află în domeniul unității  
de definiții (verificarea de coerență), atunci se  
poate valida calculul lor, înlocuind cu  $\bar{f}_1, \bar{f}_2$  și orice  
coerență privind  $\bar{f}_1, \bar{f}_2$  poate fi acum aplicată, re-  
zultatele fiind valabile și pentru ecuația originală

(se pot face tot felul de combinații - exemplu din  
convențiile anterioare.)

Mai mult, să observăm că pentru cauzele practice, nu ne interesează niciodată valori  $v_1, v_2$  arbitrar de mari, (ba chiar ele sînt inacceptabile). Pe aceea, condiția practică ne impune o limitare de genul

$$(265) \begin{cases} v_1 < V_1 \\ v_2 < V_2 \end{cases}, \text{ pentru alege prelungirile } \bar{t}_1, \bar{t}_2 \text{ din}$$

fig. 42, respectiv din  $V_1$  și  $V_2$ , sau chiar puțin după ele ( $V_1 + 1, V_2 + 1$ )

pentru a înțelege și esențialele erori: Obținem:

**Comparația 10**

Dacă și  $v_1 < V_1, v_2 < V_2$  impuse de practică, a-

tunci alegem

$$(266) \begin{cases} \bar{t}_1 = \begin{cases} t_1(v_1) & \text{pe } v_1 \leq V_1 \\ t_1'(V_1)(v_1 - V_1) + t_1(V_1) & \text{pe } v_1 > V_1, \text{ și} \end{cases} \\ \bar{t}_2 = \begin{cases} t_2(v_2) & \text{pe } v_2 < V_2 \\ t_2'(V_2)(v_2 - V_2) + t_2(V_2) & \text{pe } v_2 > V_2 \end{cases} \end{cases}$$

având în vedere și re-aplicăm algoritmul de la Concl. 3

(pag 100) - tocdeauna posibil - și calculăm  $\tilde{v}_1, \tilde{v}_2$ . Atunci:

1) Dacă  $\tilde{v}_1 < V_1, \tilde{v}_2 < V_2$ , atunci ele sînt soluțiile  
 valabile și pentru ecuația originală (eventual iar și nu e  
 pentru a ține cont de eroare)

2) Dacă  $\tilde{v}_1 > V_1$  sau  $\tilde{v}_2 > V_2$ , atunci ecuația originală

nu are o soluție acceptabilă.

**Comparația 11**

Dacă se respectă condiția:

$G_3 \geq \frac{\lambda r}{2(1-\lambda r)} (G_1 + G_2)$ , putem aplica funcțiilor prelucrate algoritmul de la pag 164 (construcția), urmat de o verificare care de considerată:

a) Cu impunere practică și soluție numerică celei precedente

b) Fără impunere. Dacă verificarea nu reușește, funcțiile sînt din nou modificate ( $\beta$  mai mare în fig 42). În lucrarea [10] se demonstrează că exist proces se termină după un număr finit de pași.

### 7) Viteza de convergență a algoritmilor de calcul

În paragrafele anterioare, s-a avut la vedere referiri la acest aspect, în lipsă de importanță. Problema este că: demonstrarea convergenței unui algoritm, nu spune nimic despre viteza cu care se produce această convergență ("rata de convergență")

De exemplu, un algoritm care să se apropie la 0.001 de soluție la 1000 000 de pași... Rata lui de convergență va fi în acest caz foarte aproape de 1, dar totuși, subunitară:

$$(267) \quad \|x_n - x_p\| \leq \epsilon^n \|x_0 - x\| \quad \text{cu } \epsilon - \text{rata de conv.}$$

Ori pentru noi, o astfel de convergență nu are nici o utilitate practică; nu vom încerca

miş mărcaș sau calculator electronic ce o astfel de problemă.

Să luăm ca exemplu "algoritmul":

$$(268) \quad x_{n+1} = \left(\frac{1}{1000}\right)^{\frac{1}{1000000}} \cdot x_n, \quad x_0 = 1$$

(presupunem că nu știm că soluția este 0)

Derivăm că algoritmul este convergent, căci

$$k = \left(\frac{1}{1000}\right)^{\frac{1}{1000000}} < 1$$

și de aici  $x_{n+1} = kx_n$  cu  $k < 1$

$$\Rightarrow x_{n+1} = k^n x_0 \rightarrow 0$$

Alefel  $\|Tx, Ty\| = |kx, ky| = k|x, y|$   
( $k < 1$ )

și re-aplicăm Teoria Banach)

Dar, după de-abia 1000 000 pași vom obține

$$x_{1000000} = \left[\left(\frac{1}{1000}\right)^{\frac{1}{1000000}}\right]^{1000000} x_0 = \frac{x_0}{1000} = 0.001$$

Și pentru o precizie dorită de 3 zecimale:

$$|x_n - 0| \leq \frac{1}{1000} \text{ numai pentru } n \geq 1000000!$$

Derivăm că exemplul de mai sus este oarecum

particular, dar, el atrage atenția asupra un partea

de ariștării unei viteze și mai mari de conver

gență a unui algoritm

Pe calea acestui desiderat, să reamintim observația de la pag 189 (U7,  $(\bar{t}_2 - t_2)$  (v.1)), care ne arată cum putem folosi procedul de „prelungire”, după o probăabilă afare a marginilor solubiilor, pentru a „accelera” convergența algoritmilor.

Direcția care urmează (v. art [7]) are mai multe scopuri:

- să exemplifice modele în care se pot face estimări, asupra vitezei de convergență

- să facă o comparație între o metodă de „tip „punct fix” și una de tip „Newton”

- să reflecte importanța condiției de mărginire a părții în teoremele precedente și influența ei asupra vitezei de convergență. Astfel se va înțelege mecanismul prin care procedurile de prelungire pot mări viteza de convergență a unui algoritm.

Se va porni de la o teoremă de punct fix a lui Sandberg, mai generală decât cea de la pag 153 (T2), și se va deriva modelul cum poate fi ea aplicată:

**Teorema 11** (Sundberg)

Fie operatorul  $G(x) = F(x) + Ax$ . Dăci sunt

respectate condițiile:  $\exists k_1, k_2$  de paritate a1

$$\left\{ \begin{aligned} \langle G(x) - G(y), x - y \rangle &\geq k_1 \|x - y\|^2 \quad (269) \\ \|G(x) - G(y)\|^2 &\leq k_2 \|x - y\|^2 \quad (270) \end{aligned} \right.$$

$\forall x, y \in \mathbb{R}^n$  ( $\| \cdot \|$  norma euclidiană,  $\langle \cdot \rangle$  produs scalar)

Atunci ecuația (1) are o soluție unică și ea este obținută prin trecerea la limită a șirului:

$$x^{k+1} = \frac{k_1}{k_2} [B - G(x^k)] + x^k \quad \text{pe } k=1, 2, \dots \quad (271)$$

(cu  $x^0$  arbitrar)

Aplicație

Pentru exemplul de probă, am trebuit veri-

ficat condițiile:

$$G(x) = F(x) + Ax = \begin{bmatrix} k_1(x_1) + a_{11}x_1 + a_{12}x_2 \\ k_2(x_2) + a_{21}x_1 + a_{22}x_2 \end{bmatrix} \quad (272)$$

(și la fel pentru  $G(y)$ ) Dăci:

$$G(x) - G(y) = \begin{bmatrix} k_1(x_1) - k_1(y_1) + a_{11}(x_1 - y_1) + a_{12}(x_2 - y_2) \\ k_2(x_2) - k_2(y_2) + a_{21}(x_1 - y_1) + a_{22}(x_2 - y_2) \end{bmatrix} \quad (273)$$

Sau cu:

$$\frac{k_1(x_1) - k_1(y_1)}{x_1 - y_1} = d_1 > 0 \quad \frac{k_2(x_2) - k_2(y_2)}{x_2 - y_2} = d_2 > 0 \quad (274')$$

(unde n-a folosit structura monotonie a lui  $f_1, f_2$ )

$$G(x) - G(y) = \begin{bmatrix} d_1(x_1 - y_1) + a_{11}(x_1 - y_1) + a_{12}(x_2 - y_2) \\ d_2(x_2 - y_2) + a_{21}(x_1 - y_1) + a_{22}(x_2 - y_2) \end{bmatrix} =$$

$$= \begin{pmatrix} d_1 & 0 \\ 0 & d_2 \end{pmatrix} \begin{pmatrix} x_1 - y_1 \\ x_2 - y_2 \end{pmatrix} + \underbrace{A}_{M} \begin{pmatrix} x_1 - y_1 \\ x_2 - y_2 \end{pmatrix} = \left\{ \begin{pmatrix} d_1 & 0 \\ 0 & d_2 \end{pmatrix} + A \right\} \begin{pmatrix} x_1 - y_1 \\ x_2 - y_2 \end{pmatrix}$$

$d_1, d_2 > 0. \quad (274)$

Matricea  $M$  a lui are aritatei unigulara ( $A \in P_0$ ), deci

$G(x) - G(y) \neq 0$  pt  $x \neq y$  si rezultele (269), (270) sunt pozitive.

$$E = \langle G(x) - G(y), x - y \rangle = \begin{pmatrix} d_1 + a_{11} & a_{12} \\ a_{21} & d_2 + a_{22} \end{pmatrix} \begin{pmatrix} x_1 - y_1 \\ x_2 - y_2 \end{pmatrix} \cdot \begin{pmatrix} x_1 - y_1 \\ x_2 - y_2 \end{pmatrix}^T =$$

$$= \begin{bmatrix} (d_1 + a_{11})(x_1 - y_1) + a_{12}(x_2 - y_2) \\ a_{21}(x_1 - y_1) + (d_2 + a_{22})(x_2 - y_2) \end{bmatrix} \cdot [x_1 - y_1, x_2 - y_2] =$$

$$= d_1(x_1 - y_1)^2 + d_2(x_2 - y_2)^2 + a_{11}(x_1 - y_1)^2 + a_{22}(x_2 - y_2)^2 +$$

$$+ (a_{12} + a_{21})(x_1 - y_1)(x_2 - y_2) \quad (275)$$

Deci (rel 269) ca expresia (275) si permisa a

majorare de genul:  $E \geq k_1 \|x - y\|^2 = k_1 [(x_1 - y_1)^2 + (x_2 - y_2)^2]$  (276)

Daca matricea  $A$  (la noi  $T^{-1}G$ ) are si simetrica

derivata si are laxe simple, cu concluzia lui Jordan  
 pentru partea pozitiv definita. Nu ne aflam insa

in această situație. Va trebui deci să arige-  
răm (276). O manieră ar fi, de exemplu (de alt-  
fel e una similară), să cerem ca:

$$(277) \quad d_1(x_1 - y_1)^2 + d_2(x_2 - y_2)^2 \geq k_A [(x_1 - y_1)^2 + (x_2 - y_2)^2]$$

și

$$(278) \quad a_{11}(x_1 - y_1)^2 + (a_{12} + a_{21})(x_1 - y_1)(x_2 - y_2) + a_{22}(x_2 - y_2)^2 \geq 0$$

Să ne oprim asupra relației (277). Este o a-

rată cum apare condiția de pondă marginală

inferior (vezi de ex T 2 pag 159). Într-adevăr,

$d_1$  și  $d_2$  sunt cei doi coeficienți (274'), și condiția

277 va fi arigată, dacă exorta marginală infer-

ioare sunt pozitive  $k_A^I, k_A^{II}$  pentru expresiile

(274') deci

$$\frac{k_1(x_1) - k_1(y_1)}{x_1 - y_1} \geq k_A^I > 0 \quad (279) \quad \frac{k_2(x_2) - k_2(y_2)}{x_2 - y_2} \geq k_A^{II} > 0$$

Putem deci alege

$$k_A^I = \inf \left\{ \frac{k_1(x_1) - k_1(y_1)}{x_1 - y_1} \right\}$$

$$k_A^{II} = \inf \left\{ \frac{k_2(x_2) - k_2(y_2)}{x_2 - y_2} \right\}$$

(280)

$$k_A = \min \{ k_A^I, k_A^{II} \}$$

și condiția 277 este respectată



Să ne apinem asupra condiției (278). Ea este echivalentă cu:

$$(281) \quad a_{11} u^2 + (a_{12} + a_{21}) uv + a_{22} v^2 > 0 \quad \forall u, v$$

Putem proceda direct, variind aceasta ca un polinom în  $u$ , punem condiția ca

$$(282') \quad \Delta < 0 \quad (\text{stini cci } a_{11} > 0)$$

$$(282) \quad (a_{12} + a_{21})^2 v^2 - 4a_{11}a_{22}v^2 \leq 0 \quad \forall v \text{ sau}$$

$$(283) \quad (a_{12} + a_{21})^2 \leq 4a_{11}a_{22}$$

(Afel (și mai general pe  $n$  mai mare), vom înlocui (281) în forma:

$$a(u \ v) \begin{pmatrix} a_{11} & \frac{a_{12} + a_{21}}{2} \\ \frac{a_{12} + a_{21}}{2} & a_{22} \end{pmatrix} \begin{pmatrix} u \\ v \end{pmatrix} > 0 \quad \forall (u, v)$$

și acum putem aplica  $\Delta$  pentru forme pătratică

$$a_{11} \geq 0$$

$$D = \begin{vmatrix} a_{11} & \frac{a_{12} + a_{21}}{2} \\ \frac{a_{12} + a_{21}}{2} & a_{22} \end{vmatrix} > 0 \text{ și regăsim 283}$$

Acest procedeu poate fi aplicat în general (cu  
 precă matricii  $A$  și  $\begin{cases} A_1 \text{ simetrică} \\ A_2 \text{ ordinară și } A^2 u^t \geq 0 \end{cases}$ )

Pentru problema noastră condiția este:

$$k^2 [G_3(\alpha t - 1) + G_3(\alpha t - 1) + \alpha t(G_1 + G_2)]^2 \leq 4 [G_3(1 - \alpha t)(G_1 + G_2 + G_3(1 - \alpha t))]^2$$

(Văzută lui  
 $A_1$  de  $\alpha x$   
 206  
 pag 192)

$$\left[ G_3(\alpha_r + \alpha_t - 2) + \alpha_r(G_1 + G_2) \right]^2 \leq 4 G_3(1 - \alpha_r)(G_1 + G_2 + G_3(1 - \alpha_t))$$

$$G_3^2(\alpha_r + \alpha_t - 2)^2 + \alpha_r^2(G_1 + G_2)^2 - 2\alpha_r G_3(G_1 + G_2)(2 - \alpha_t - \alpha_r)$$

$$\leq 4 G_3(1 - \alpha_r)(G_1 + G_2) + 4 G_3^2(1 - \alpha_r)(1 - \alpha_t)$$

Acum

$$A G_3^2 + B (G_1 + G_2)^2 + C G_3 (G_1 + G_2) \leq 0 \quad (284)$$

$$\| \text{unde } A = (\alpha_r + \alpha_t - 2)^2 - 4(1 - \alpha_r)(1 - \alpha_t) =$$

$$= (\mu + \nu)^2 - 4\mu\nu = (\mu - \nu)^2 \geq 0.$$

$$\| B = \alpha_r^2 \geq 0$$

$$\| C = - \left[ 2\alpha_r(2 - \alpha_t - \alpha_r) + 4(1 - \alpha_r) \right] = - \left[ \cancel{4\alpha_r} - 2\alpha_r\alpha_t + 2\alpha_r^2 + \cancel{4} \right] < 0.$$

Am reusit sa scriu relatia pentru a scrie linia ca un

patru avec certitudine scria direct intr-o forma

rezultata a parametrilor, aici  $A > 0 \Rightarrow (282) \rightarrow$

pentru  $G_3 \rightarrow$  iar  $C > 0 \Rightarrow (282) \rightarrow$  pentru

$(G_1 + G_2) \rightarrow$ , si aici intr-un caz nu se mai

poate respecta conditia de  $\leq 0$ .

Pentru un caz ziperi  $\alpha_r \sim 0.98 \sim 1$

$\alpha_t \sim 0.56 \sim 0.5$

$$\Rightarrow A = (1 - \alpha_r + \alpha_t - 1)^2 = (\alpha_r - \alpha_t)^2 = 0.5^2 = 0.25$$

$$B = \alpha r^2 = 0.25$$

$$C = - [4 + 2\alpha r^2 - 2\alpha r \alpha k] = - [4 + 2 \cdot 0.25 - 2 \cdot 0.5] = 2.5$$

Dați condiția este:

$$0.25 G_2^2 + 0.25 (G_2 + G_1)^2 - 2.5 G_2 (G_1 + G_2) \leq 0. \text{ sau}$$

$$G_2^2 + (G_1 + G_2)^2 - 10 G_2 (G_1 + G_2) \leq 0 \quad (285)$$

$$\text{Dar: } |G_2^2 + (G_1 + G_2)^2 - 2(G_2(G_1 + G_2))| \geq 0 \quad \text{și de aici}$$

re vede gama relativ restrânsă în care trebuie să ne încadrăm. (Calculul mai mare sau puțin pe  $(G_1 + G_2)$  este ridicarea polinomului, vădit cu variabil.  $G_2$ ). Aceasta reprezintă paribilitatea „surprizei” pe care o poate oferi calculatoarea echipat cu acest program, pentru anumite valori ale parametrilor!

Urmăriind cu totuși analog îndeplinirea condiției (270) se va ajunge la o nouă dublă condiționare. Pe noi se întoarce aceeași condiția asupra pontei. Ea va fi evident de sens invers!

$$\left\{ \begin{array}{l} K_2' = \sup \left\{ \frac{x_1(x_1) - x_1(y_1)}{x_1 - y_1} \right\} \\ K_2'' = \sup \left\{ \frac{x_2(x_2) - x_2(y_2)}{x_2 - y_2} \right\} \\ K_2 = \max \{ K_2', K_2'' \} \end{array} \right. \quad (286)$$

Așfel, am încercat să regrez doar, modelul cum apar condițiile de echilibru din teoria clasică a lui Sandberg (A paritiv semidefinită, iar  $f_k$  cu pantă marginală inferioară și superioară).

De asemenea, observăm, din rezultatele (280) (286) că măsurile  $K_1, K_2$  pot fi alese ca funcție de minimum sau maximum pantelor. Astfel:

inf pantă mare  $\Rightarrow K_1$  mare

sup pantă mic  $\Rightarrow K_2$  mic

Ozi, în demarcația sa, Sandberg are ca valoare convergentă ( $K$ -se contractivă pe care o cunoaștem) este ~~proprietate~~ <sup>dependența</sup> de  $f\left(\frac{K_1}{K_2}\right)$ . Derivăm că

$K_1$ -se așază redimensionare (contractivă), dar rămâne deschisă problema vitezei de convergență, mai ales pentru  $K_1$  foarte mici și  $K_2$  foarte mari, care în care  $K \rightarrow 1$ .

Pentru a intra în aceste detalii și a sublinia valoarea procesului de modificare din fig 42, care în fond măsoară pe „panta” (și deci pe  $K_1$  și deci viteza de convergență) să urmăm

un raționament făcut de Wilson (are [7])

El a observat că, pornind de la relațiile (269) și (270) și aplicând înq. clasică a lui Schwarz:

$$\langle a, b \rangle^2 \leq \|a\| \|b\| \quad (287) \text{ ne dă din nou}$$

inegalități cu sens schimbat:

$$\langle G(x) - G(y), x - y \rangle^2 \leq \|G(x) - G(y)\| \|x - y\| \stackrel{(270)}{\leq} k_2 \|x - y\|^2$$

de unde:

$$\| \langle G(x) - G(y), x - y \rangle \leq \sqrt{k_2} \|x - y\| \quad (288)$$

$$\|G(x) - G(y)\|^2 \|x - y\|^2 \geq \langle G(x) - G(y), x - y \rangle^2 \stackrel{(269)}{\geq} k_1^2 \|x - y\|^4 \text{ deci}$$

$$\|G(x) - G(y)\|^2 \geq k_1^2 \|x - y\|^2 \quad (289)$$

Auarea inversare îi permite să numerească toate demonstrația lui Sandberg cu sens schimbat al inegalităților și  $k_3, k_4$  în loc de  $k_1, k_2$ , ajungând la:

$$\|H(x) - H(y)\| \geq k \|x - y\|^2 \quad (290)$$

(H(x) fusese funcția contractivă)

$$\text{cu } k = 1 - 2 \left( \frac{k_4}{k_3^2} \right)^{1/2} + \left( \frac{k_4}{k_3^2} \right)^2 \text{ sau}$$

$$k = 1 - 2 \left( \frac{k_1^2}{k_2} \right)^{1/2} + \left( \frac{k_1^2}{k_2} \right)^2 \quad (291)$$

(în termenii

$$\Rightarrow \|H(x) - H(y)\| \leq \bar{k} \|x - y\|^2 \text{ cu } \bar{k} < 1 \quad (292)$$

Dacă  $x_0$  fiind punct fix al contractivii, din (290) se deduce imediat

$$\|x^{k+1} - x_0\| = \|H(x^k) - H(x_0)\| \geq k \|x^k - x_0\| \quad (293)$$

Așadar inegalitatea este o foarte interesantă,

care oferă o limită inferioară a ratei de convergență

( $\sqrt{k}$ ). (din 291). Utilizăm analize mai mult ca  $k > 0$

din (293) nu este învințită. Mai mult încă, dacă

$k_1$  devine foarte mic iar  $k_2$  foarte mare,  $\sqrt{k} \rightarrow 1$  și

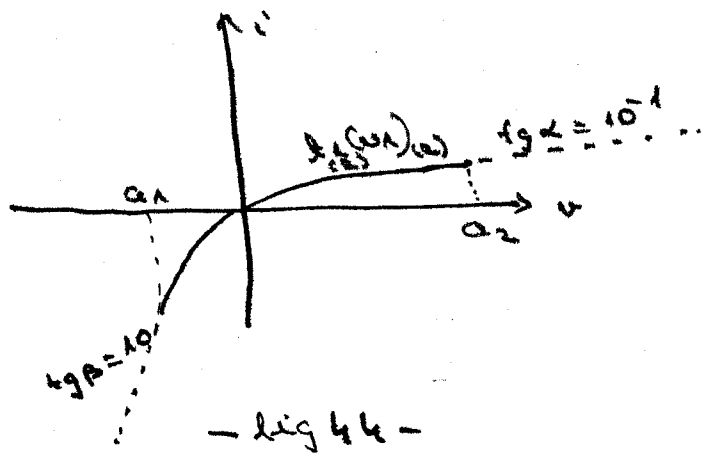
deci unul devine oarecum de fapt convergență

Exemplu

Dacă vrem să vedem cât ne putem marginii

paralele funcțiilor prea mult, adică ni se impune

de exemplu  $10^{-1} < \frac{f_1(x) - f_1(y)}{x - y} < 10^1 \quad (294)$



De exemplu atunci

când ne putem da

bilă marginii ale so

lupilor mai bine ca  $a_1, a_2$

$$k = 1 - 2 \left( \frac{10^{-2}}{10} \right)^{1/2} + \left( \frac{10^{-2}}{10} \right)^2 \quad \boxed{\sqrt{k} \approx 0,99} \quad (295)$$

$\Rightarrow$  Concluzii : indiferent de nivelul iterației ea nu se erigea în mod clar mai mult de 1% de

apropierea de soluție, la un pas (cu  $k_1$  mai mic și  $k_2$  mai mare ritătică se poate agrava. Totuși, de obicei nu putem admite funcționări în regiuni foarte departate).

În schimb, Kelsoan arată că reluarea lui (74 pag 168), dară mai puțin generală (v. condițiile) a-tinerii nide se poate aplica, va ar putea converge mult mai repede la soluție. (dacă funcțiile sînt liniarizabile pe porțiuni, numărul de pași va fi chiar finit)

Să reviem deci rel. (157):

$$x^{k+1} = [F'(x_k) + A]^{-1} [B - F(x_k) + F'(x_k)x_k] \quad (157')$$

$$x^0 = [F'(x_k) + A]^{-1} [B - F(x_0) + F'(x_k)x_0] \quad (296)$$

(acestea identități se verifică ușor, și nînd căutăm ca  $x^0$  este soluția exactă a  $F(x) + Ax = B$ )

Scăzînd relațiile de mai sus obținem:

$$x^{k+1} - x^0 = [F'(x_k) + A]^{-1} [F(x_0) - F(x_k) - F'(x_k)(x^0 - x_k)] \quad (297)$$

relație interesantă, cărei reducem la pînă la, pe măsură ce ne apropiem de soluție, care în care:

$$\frac{f_i(x^0) - f_i(x_k)}{x_i^0 - x_i^k} \approx f_i'(x_k) \quad (298)$$

$$\text{deci } F(x^0) - F(x_k) \approx F'(x_k)(x^0 - x_k) \quad (299)$$

re este evident că, în relația (297),  $\|x^{k+1} - x^0\|$  este  
tot mai mic, chiar dacă  $\|x^k - x^0\|$  este încă sufi-  
cent de mare: La fiecare pas, apropierea este mai  
prețioasă (rata convergenței devine nelimitată, pe  
măsură apropierea de soluție) - o "accelerare" a  
convergenței.

Aș dori ca acum să apară mai clar si-  
militatea termenilor de analiză calitativă funda-  
mentată (A.C.F), înțelegerea strânsă între pro-  
blemele existenței, unicității, marginilor, conti-  
nuității soluției, a convergenței și bunei definiții  
a algoritmilor de calcul. //